



第四章 根轨迹法

4.1 根轨迹与根轨迹方程

4.2 绘制根轨迹的基本法则

4.3 系统闭环零极点分布与阶跃响应的关系

4.4 控制系统的根轨迹分析法

4.5 根轨迹校正

4.6 广义根轨迹

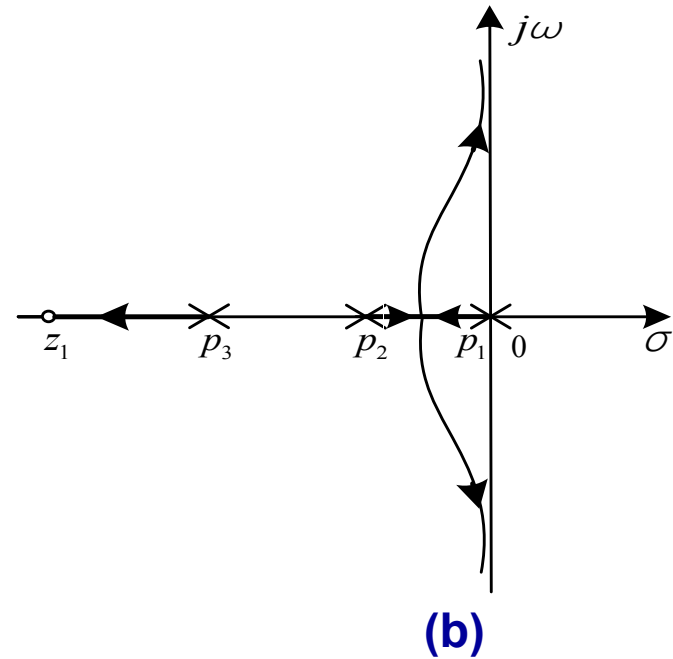
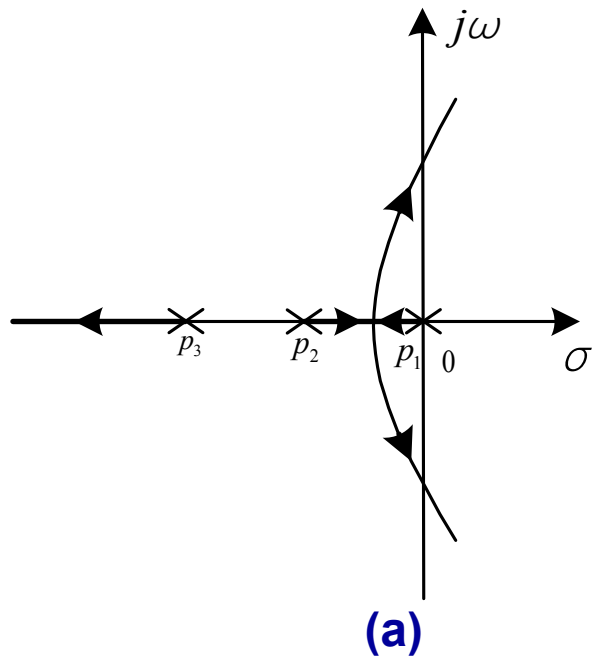


4.5 根轨迹校正

校正目的：选择合适的校正装置 $K(s)$ ，使根轨迹在合适的增益 K 值下具有所希望的主导极点，从而获得所希望的性能。

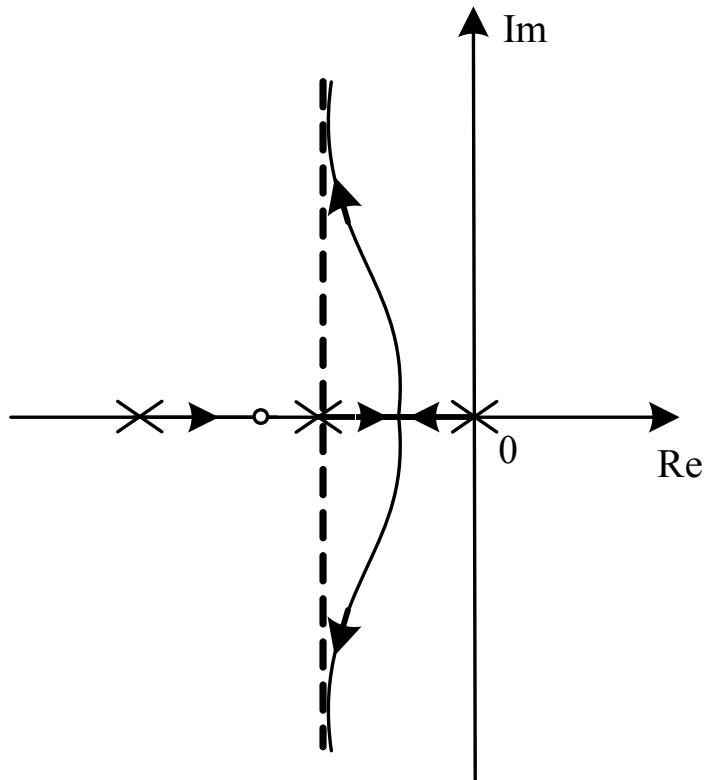
1. 附加开环零点的作用

- (1) 附加适当的开环零点可以改善系统的稳定性。
- (2) 可以改善系统的动态性能。

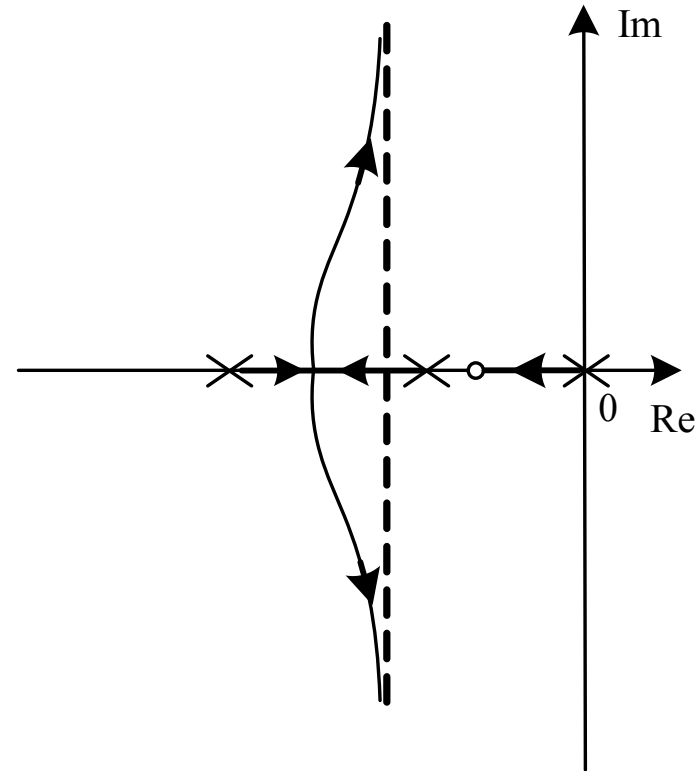




4.5 根轨迹校正



(c)



(d)

结论：只有当附加零点相对原有系统开环极点的位置选配适当，才有可能使系统的稳定性和动态性能同时得到明显的改善。



4.5 根轨迹校正

增加开环零点对根轨迹的影响

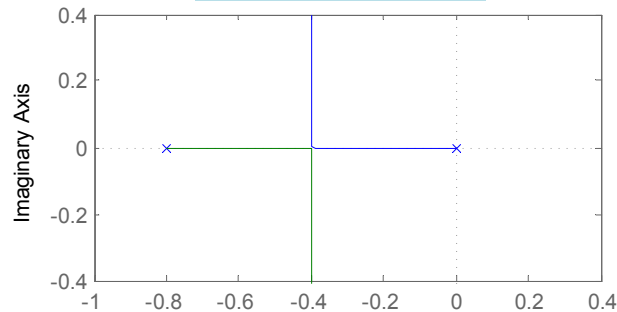
%增加开环零点的影响 $K^*=1$

```
den=[1 0.8 0];  
g1=tf(1,den);  
g2=tf([1 4 20],den);  
g3=tf([1 4],den);
```

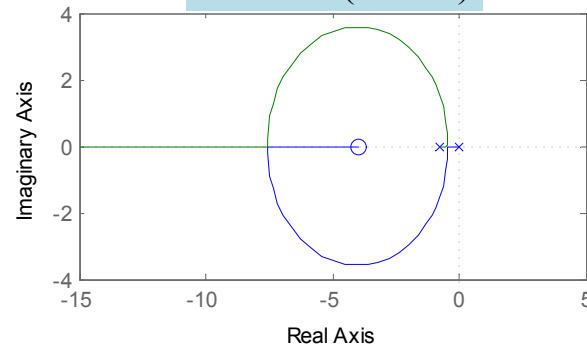
```
subplot(2,2,1)  
rlocus(g1,'b-.');  
subplot(2,2,2)  
rlocus(g2);  
subplot(2,2,3)  
rlocus(g3);
```

```
subplot(2,2,4)  
g1=tf(1,den+[0 0 1]);  
g2=tf([1 4 20],den+[1 4 20]);  
g3=tf([1 4],den+[0 1 4]);  
step(g1,g2, g3);
```

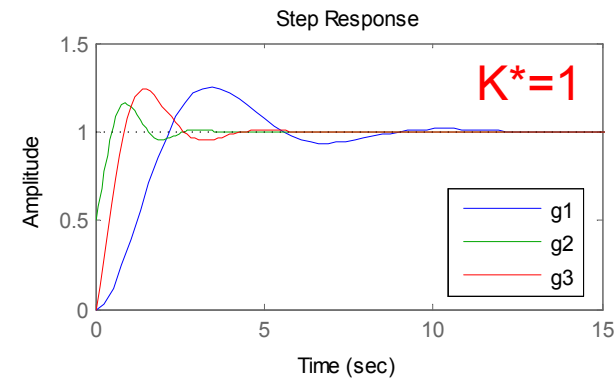
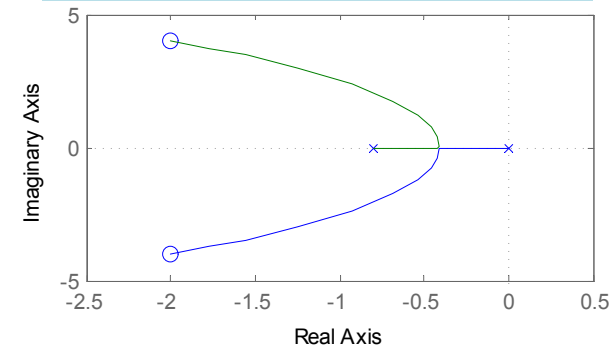
$$G_1(s) = \frac{K^*}{s(s+0.8)}$$



$$G_2(s) = \frac{K^*(s+4)}{s(s+0.8)}$$



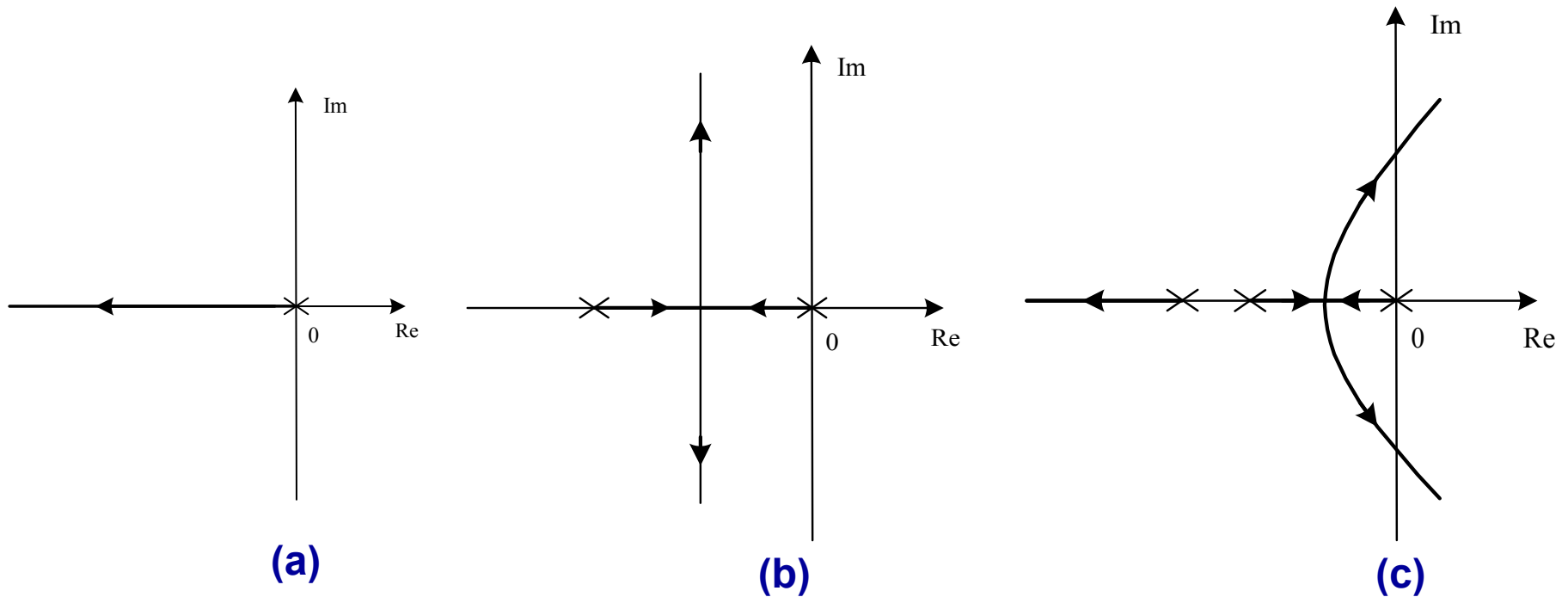
$$G_2(s) = \frac{K^*(s+2+j4)(s+2-j4)}{s(s+0.8)}$$





4.5 根轨迹校正

2. 附加开环极点的作用



引入开环极点，可使根轨迹向右弯曲或移动，它增加了系统的滞后，相当于积分作用。引入的开环极点越接近原点，系统的稳定性被破坏的程度越大，甚至导致不稳定。



4.5 根轨迹校正

增加开环极点对根轨迹的影响

%增加开环极点的影响 $K^*=1$

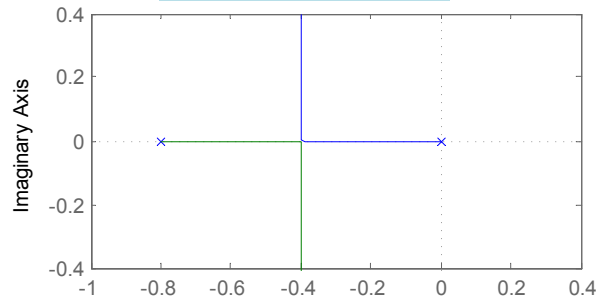
```
den=[1 0.8 0];  
g1=tf(1,conv(den,[1]));  
g2=tf(1,conv(den,[1 4]));  
g3=tf(1,conv(den,[1 4 20]));  
subplot(2,2,1)  
rlocus(g1);
```

```
subplot(2,2,2)  
rlocus(g2);
```

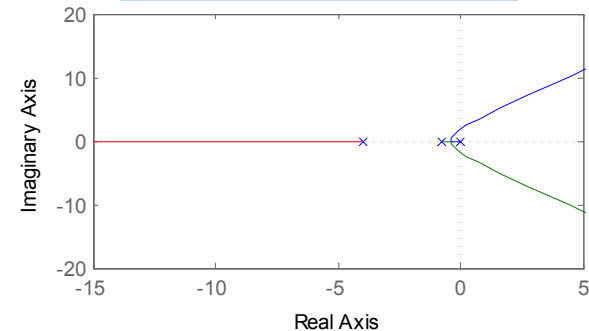
```
subplot(2,2,3)  
rlocus(g3);
```

```
subplot(2,2,4)  
g1=tf(1,conv(den,[1])+[0 0 1])  
g2=tf(1,conv(den,[1 4])+[0 0 0 1])  
g3=tf(1,conv(den,[1 4 20])+[0 0 0 0 1])  
step(g1,g2,g3);
```

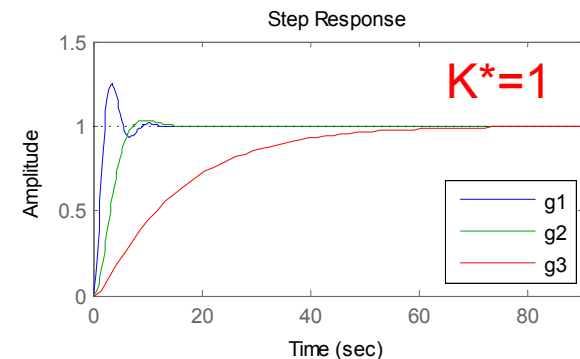
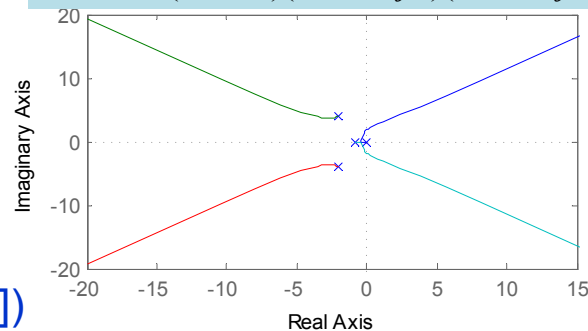
$$G_1(s) = \frac{K^*}{s(s+0.8)}$$



$$G_2(s) = \frac{K^*}{s(s+0.8)(s+4)}$$



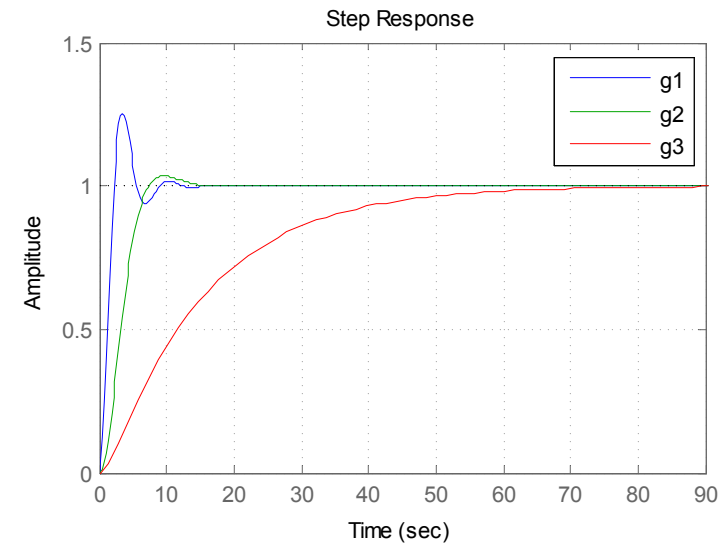
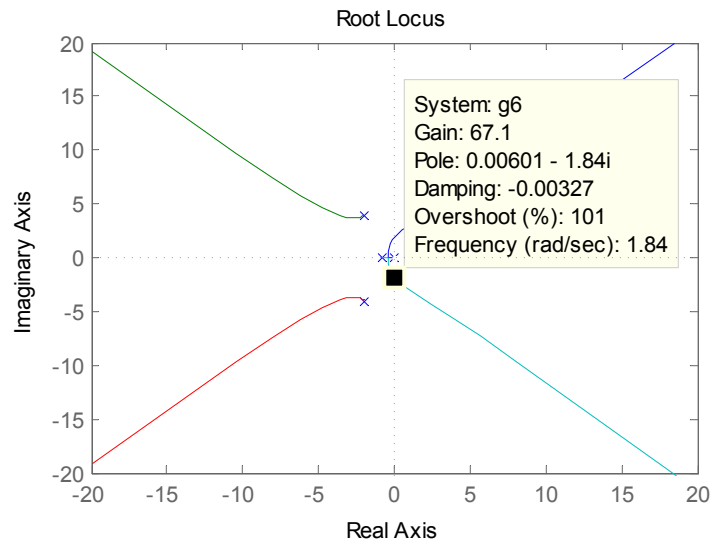
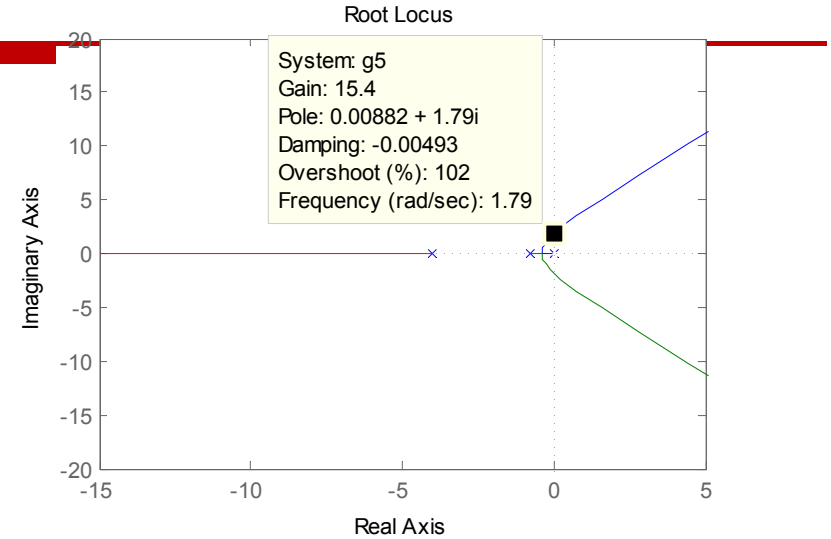
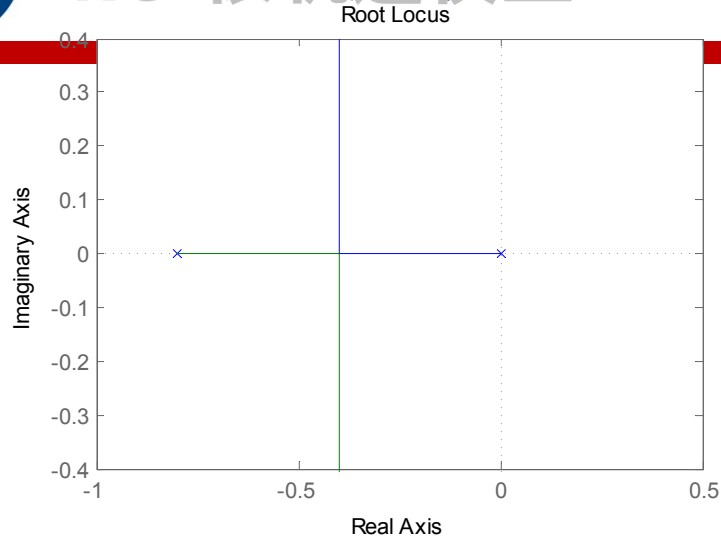
$$G_3(s) = \frac{K^*}{s(s+0.8)(s+2+j4)(s+2-j4)}$$





4.5 根轨迹校正

开环增益对系统响应的影响

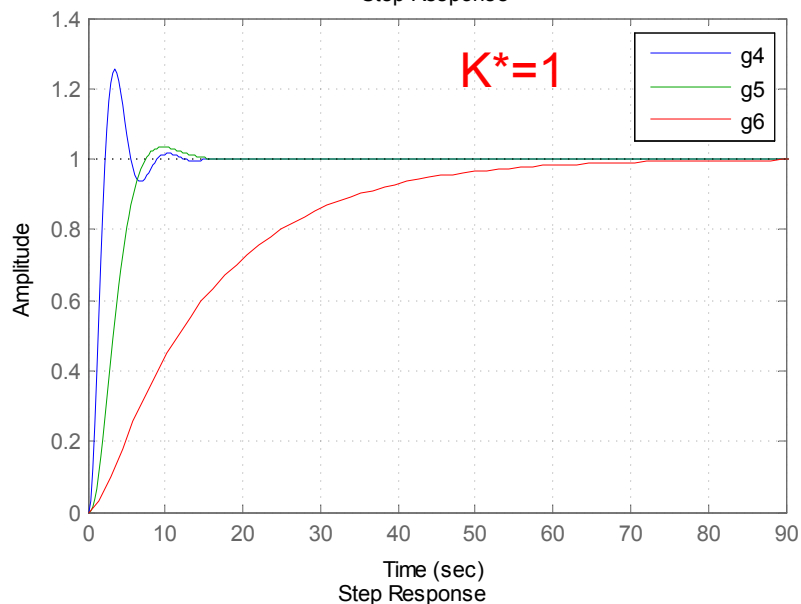




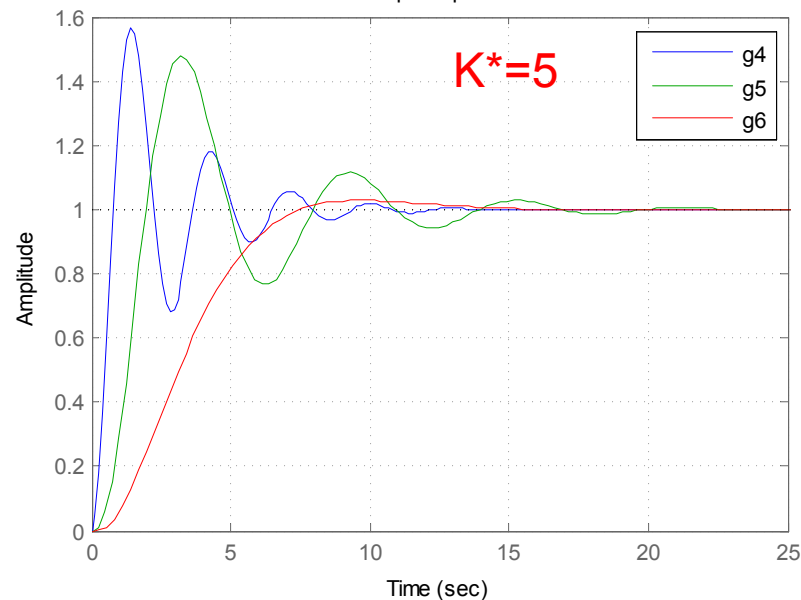
4.5 根轨迹校正

开环增益对系统响应的影响

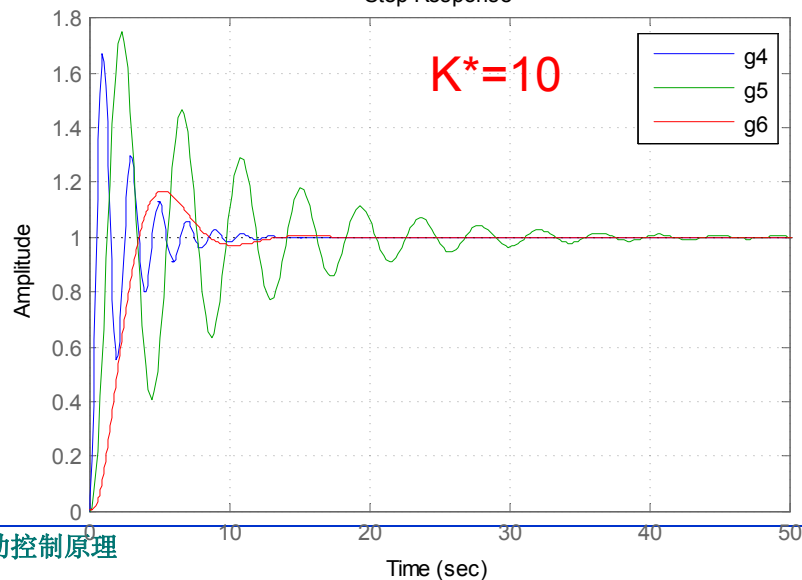
Step Response



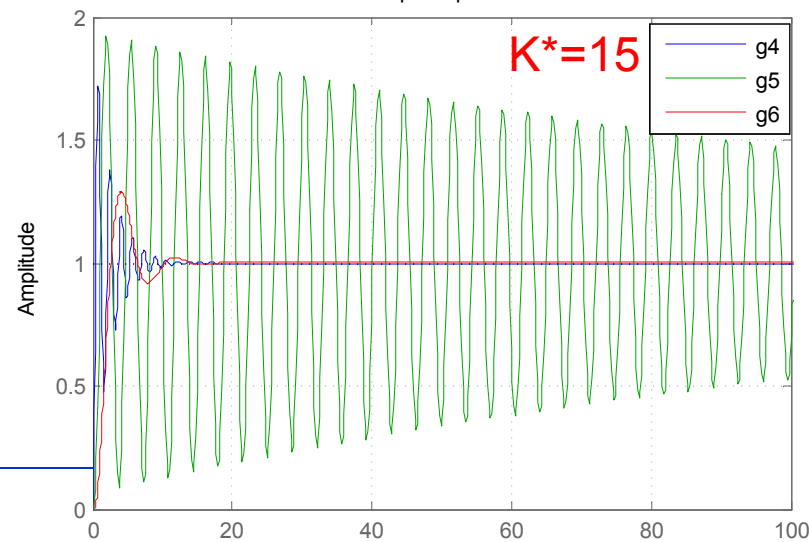
Step Response



Step Response

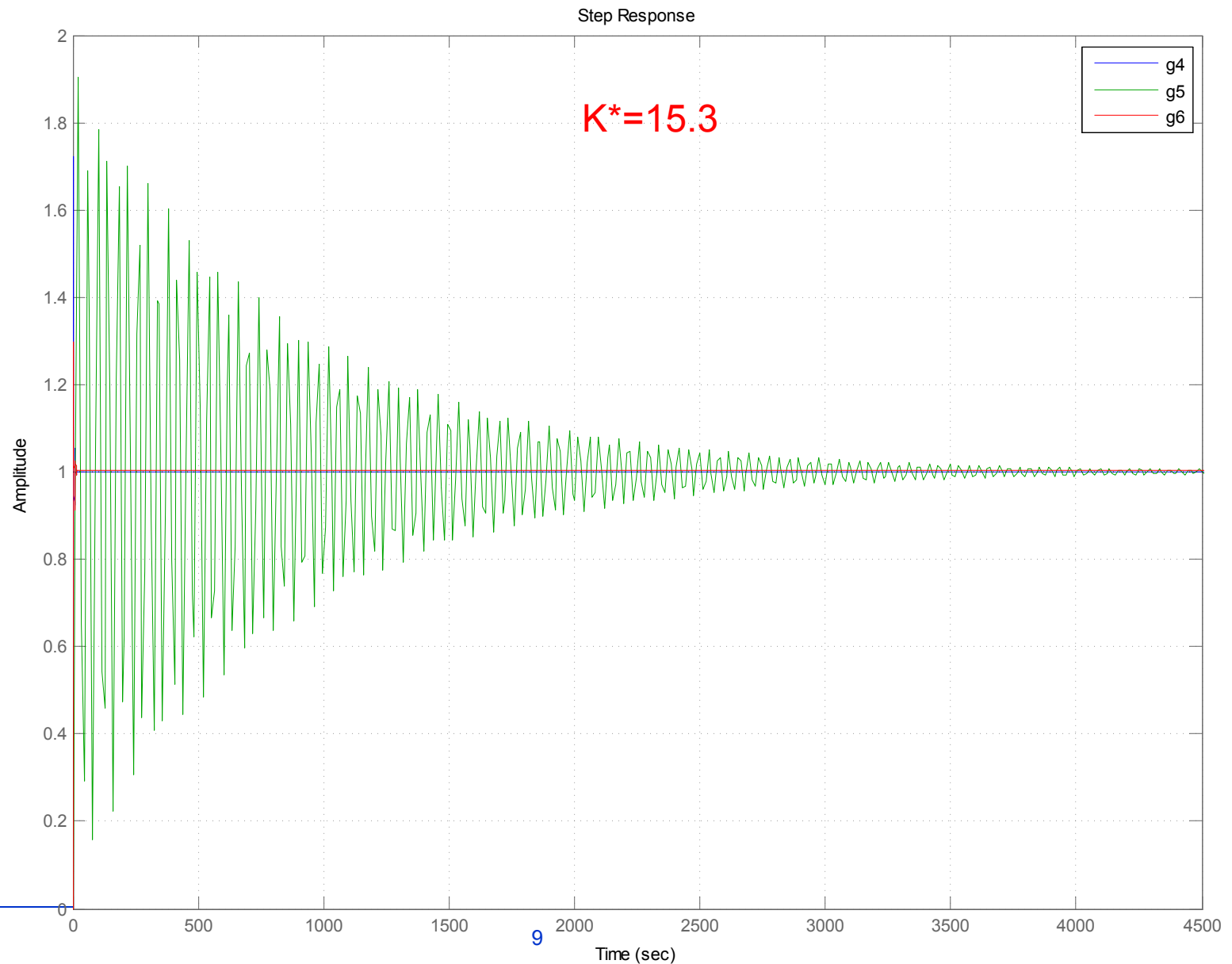


Step Response



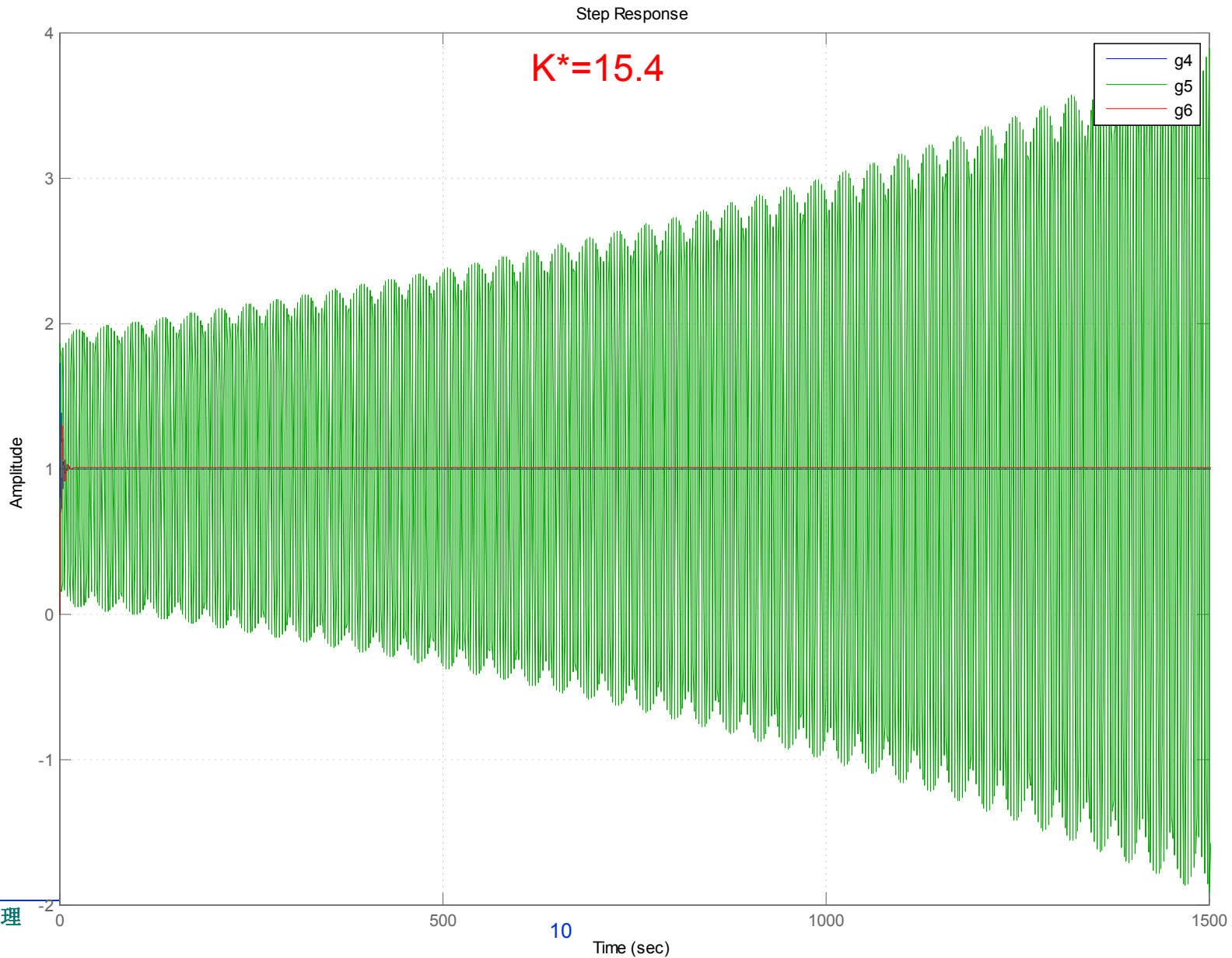


4.5 根轨迹校正





4.5 根轨迹校正





4.5 根轨迹校正

1、增加开环零点对根轨迹的影响

- 1) 改变了根轨迹在实轴上的分布;
- 2) 改变了渐近线的条数、与实轴的交点、夹角;
- 3) 可以抵消对系统不利的闭环极点 (构成偶极子) ;
- 4) 根轨迹左移 (零点要适当), 对稳定性有利;
- 5) 系统阻尼增加, 过渡过程时间缩短;

2、增加开环极点对根轨迹的影响

- 1) 改变了根轨迹的条数;
- 2) 改变了根轨迹在实轴上的分布;
- 3) 改变了渐近线的条数、与实轴的交点、夹角;
- 4) 根轨迹右移 (极点要适当), 对稳定性不利;
- 5) 系统阻尼减小, 过渡过程时间加长;



3、增加开环偶极子对根轨迹的影响

如果系统引入一对相距很近的开环零、极点(实数或复数),且它们之间的距离比它们的模值小一个数量级时,则这一对开环零、极点称为**开环偶极子**。

$$\begin{cases} \angle(s - z_1^*) \approx \angle(s - p_1^*) \\ |s - z_1^*| \approx |s - p_1^*| \end{cases}$$

因此远离坐标原点的开环偶极子对系统性能的影响可以忽略不计。



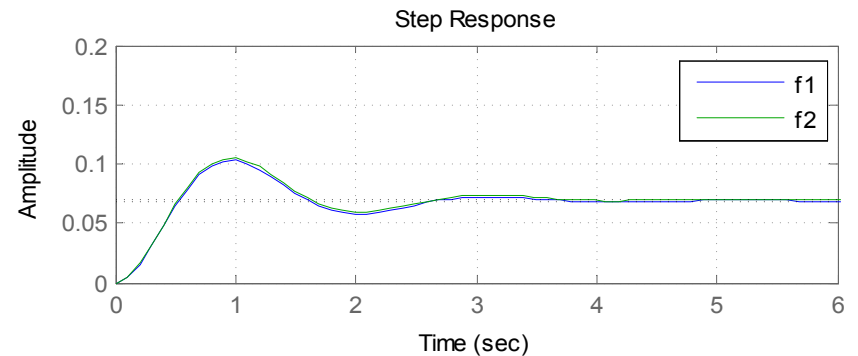
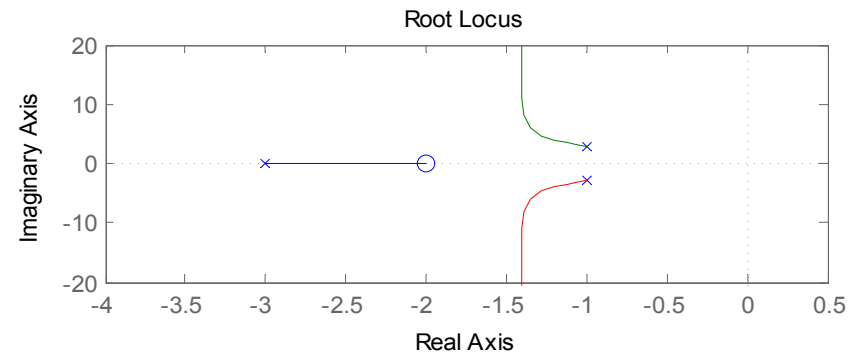
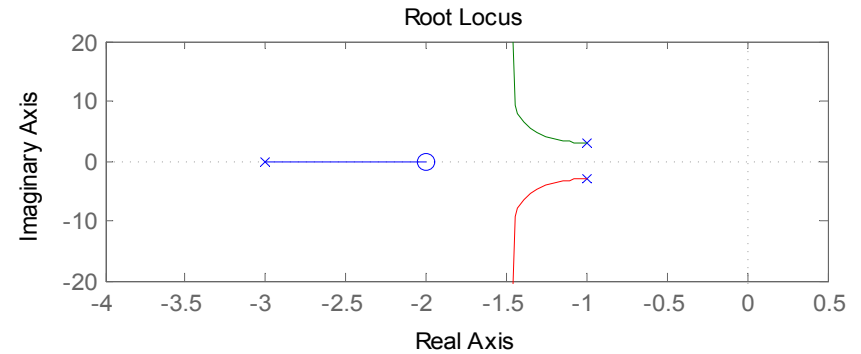
4.5 根轨迹校正

%增加开环偶极子对根轨迹的影响(远离原点)

```
zero=[-2];  
pole=[-3 -1+2.83i -1-2.83i];  
g1=zpk(zero,pole,1)  
subplot(3,1,1)  
rlocus(g1);  
axis([-4 0.5 -20 20]);
```

```
zero=[-2 -10];  
pole=[-3 -1+2.83i -1-2.83i -9.8];  
g2=zpk(zero,pole,1)  
subplot(3,1,2)  
rlocus(g2);  
axis([-4 0.5 -20 20]);
```

```
f1=feedback(g1,1)  
f2=feedback(g2,1)  
subplot(3,1,3)  
step(f1,f2);
```





4.5 根轨迹校正

增加开环偶极子对根轨迹的影响(远离原点)

Zero/pole/gain:

(s+2)

(s+3) (s^2 + 2s + 9.009)

Zero/pole/gain:

(s+2) (s+3.8)

(s+3) (s+3.6) (s^2 + 2s + 9.009)

Zero/pole/gain:

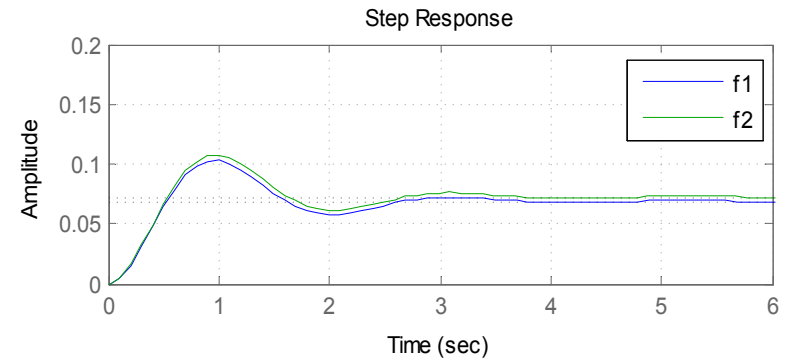
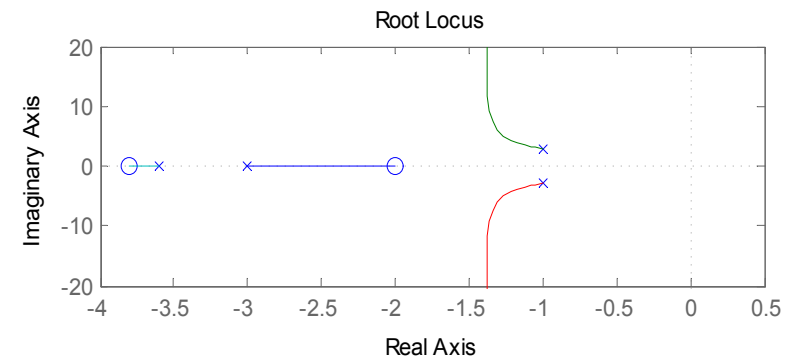
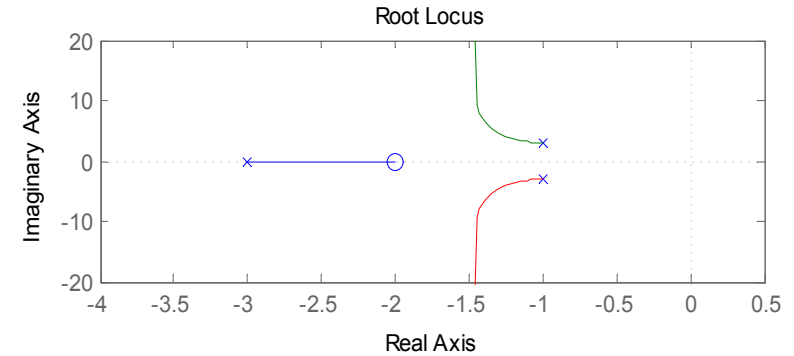
(s+2)

(s+2.921) (s^2 + 2.079s + 9.936)

Zero/pole/gain:

(s+2) (s+3.8)

(s+3.63) (s+2.9) (s^2 + 2.07s + 9.964)





4.5 根轨迹校正

靠近坐标原点的开环偶极子不能忽略，它对根轨迹的作用可以概括为：

- (1) 开环偶极子不影响稍远离开偶极子位置的根轨迹形状。
- (2) 开环偶极子不影响根轨迹上各点的根轨迹增益，但可影响根轨迹上各点的开环增益。合理地配置偶极子中的开环零、极点，可以在不影响动态特性的基础上，改善系统的稳态性能。



4.5 根轨迹校正

(3) 原点附近增加一对开环偶极子：提高系统开环增益，有利于改善静态性能，同时改变根轨迹的条数。

$$\left\{ \begin{array}{l} |G_0(s)| = \frac{K^* \prod_{i=1}^m |s - z_i| |s - z_1^*|}{\prod_{j=1}^n |s - p_j| |s - p_1^*|} = 1 \\ \underbrace{Arg G_0(s) = \sum_{i=1}^m Arg(s - z_i)}_{+ Arg(s - z_1^*)} - \underbrace{\sum_{j=1}^n Arg(s - p_j)}_{+ Arg(s - p_1^*)} = (2k + 1)\pi, k = 0, \pm 1, \pm 2 \dots \end{array} \right.$$

开环偶极子对远处根轨迹形状及根轨迹增益 K^* 值影响不大，但开环增益：

$$K = \left. \frac{K^* \prod_{i=1}^{m+1} |s - z_i|}{\prod_{j=1}^{n+1} |s - p_j|} \right|_{s=0} = \frac{K^* \prod_{i=1}^m |-z_i|}{\prod_{j=1}^n |-p_j|} \frac{|-z_1^*|}{| -p_1^* |}$$

将提高 $\frac{|-z_1^*|}{| -p_1^* |}$ 倍， e_{ss} 降低！



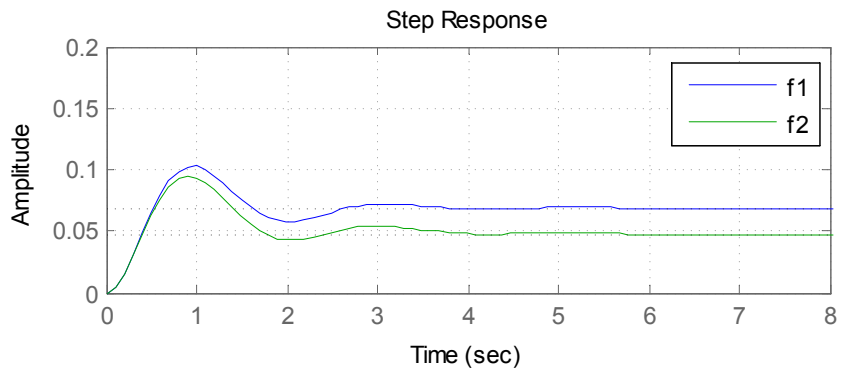
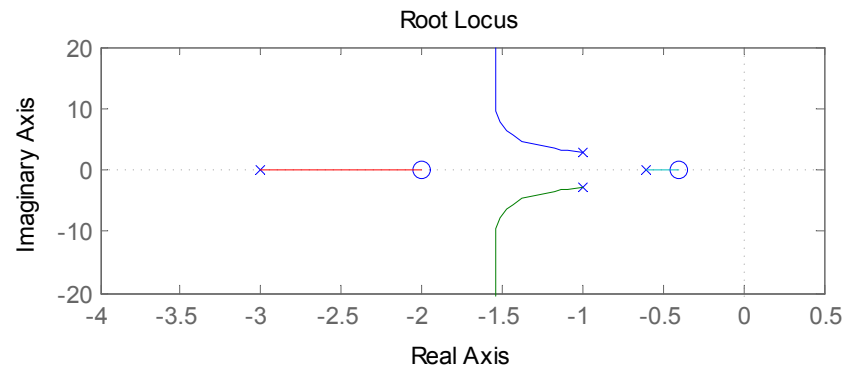
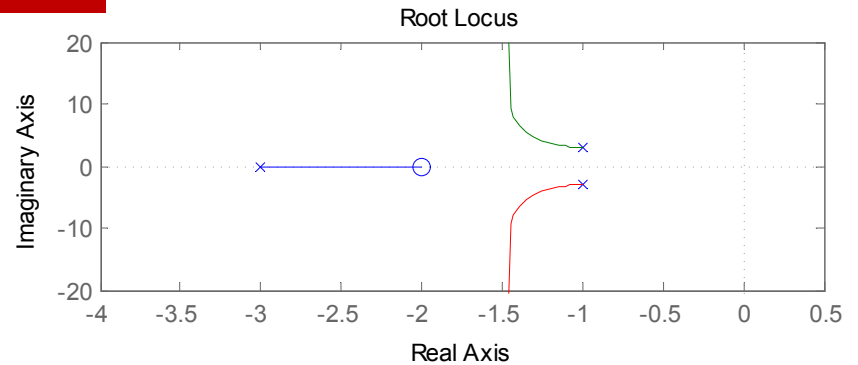
4.5 根轨迹校正

%增加开环偶极子对根轨迹的影响(接近原点)

```
zero=[-2];  
pole=[-3 -1+2.83i -1-2.83i];  
g1=zpk(zero,pole,1)  
subplot(3,1,1)  
rlocus(g1);  
axis([-4 0.5 -20 20]);
```

```
zero=[-2 -0.4];  
pole=[-3 -1+2.83i -1-2.83i -0.6];  
g2=zpk(zero,pole,1)  
subplot(3,1,2)  
rlocus(g2);  
axis([-4 0.5 -20 20]);
```

```
f1=feedback(g1,1)  
f2=feedback(g2,1)  
subplot(3,1,3)  
step(f1,f2);
```





4.5 根轨迹校正

增加开环偶极子对根轨迹的影响(接近原点)

Zero/pole/gain:
(s+2)

(s+3) (s² + 2s + 9.009)

Zero/pole/gain:
(s+2) (s+0.4)

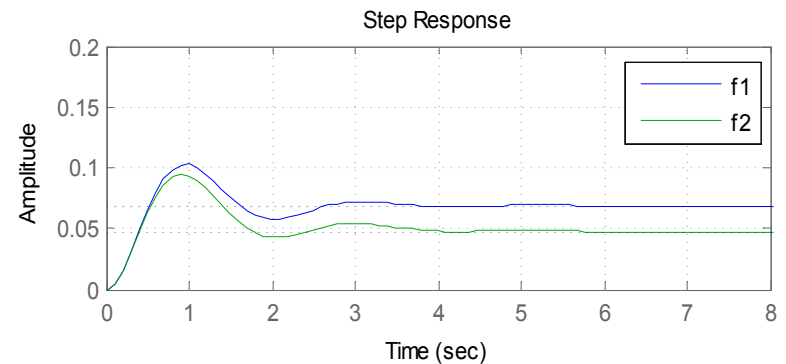
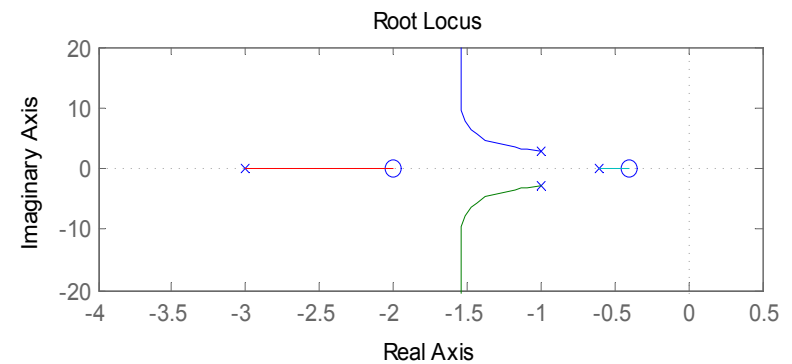
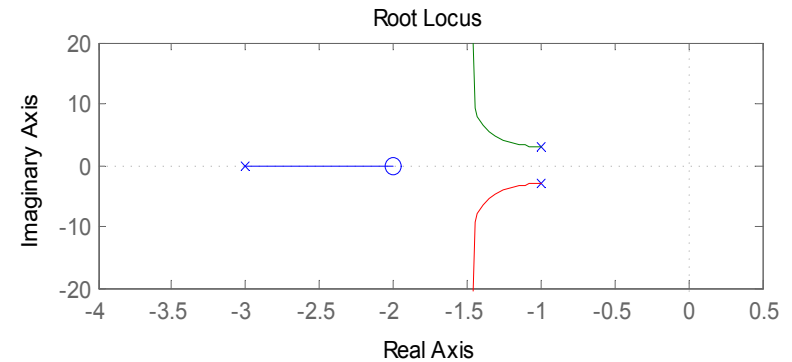
(s+3) (s+0.6) (s² + 2s + 9.009)

Zero/pole/gain:
(s+2)

(s+2.921) (s² + 2.079s + 9.936)

Zero/pole/gain:
(s+2) (s+0.4)

(s+0.5866) (s+2.915) (s² + 2.098s + 9.951)





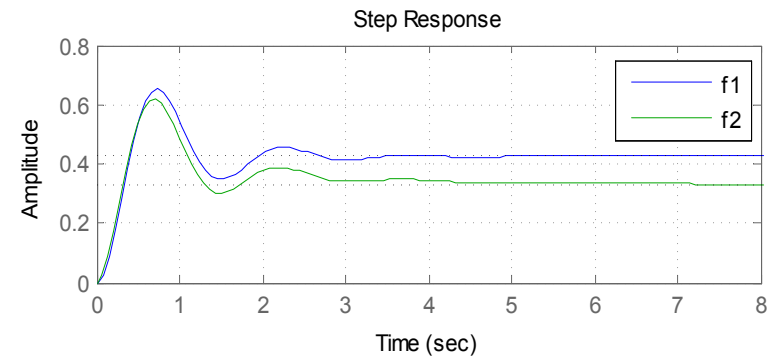
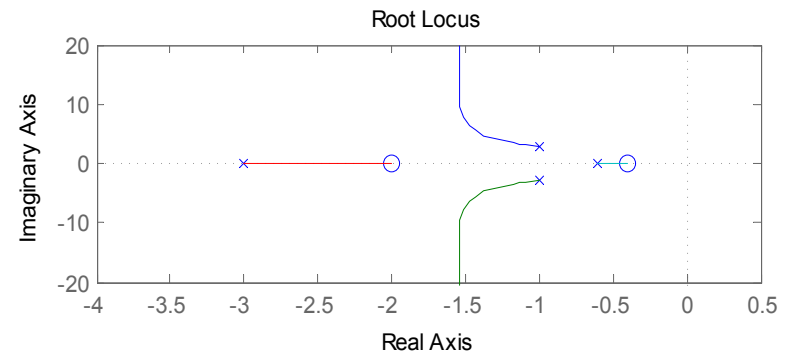
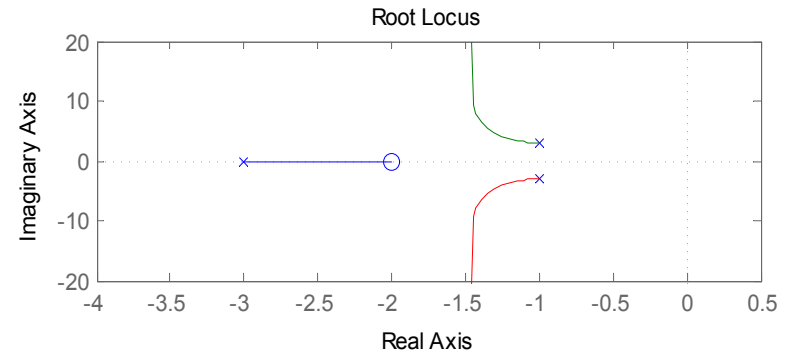
4.5 根轨迹校正

%增加开环偶极子对根轨迹的影响(接近原点)

```
zero=[-2];  
pole=[-3 -1+2.83i -1-2.83i];  
g1=zpk(zero,pole,10)  
subplot(3,1,1)  
rlocus(g1);  
axis([-4 0.5 -20 20]);
```

```
zero=[-2 -0.4];  
pole=[-3 -1+2.83i -1-2.83i -0.6];  
g2=zpk(zero,pole,10)  
subplot(3,1,2)  
rlocus(g2);  
axis([-4 0.5 -20 20]);
```

```
f1=feedback(g1,1)  
f2=feedback(g2,1)  
subplot(3,1,3)  
step(f1,f2);
```





4.5 根轨迹校正

增加开环偶极子对根轨迹的影响(接近原点)

Zero/pole/gain:

10 (s+2)

(s+3) (s^2 + 2s + 9.009)

Zero/pole/gain:

10 (s+2) (s+0.4)

(s+3) (s+0.6) (s^2 + 2s + 9.009)

Zero/pole/gain:

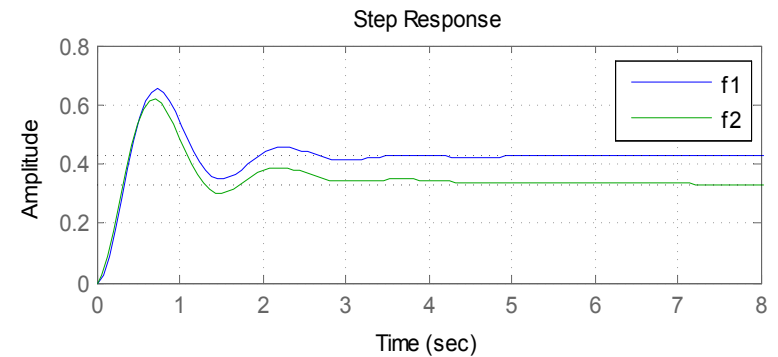
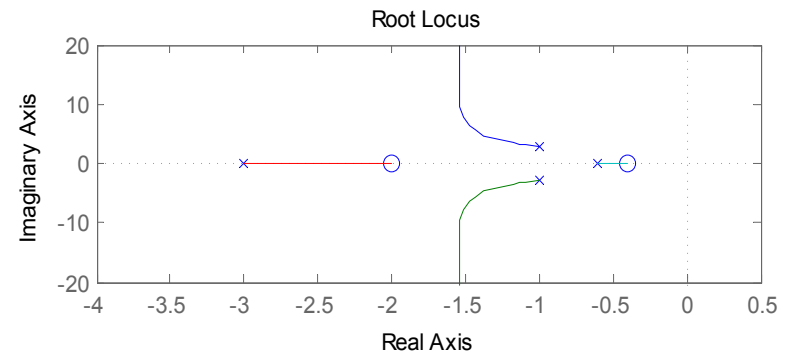
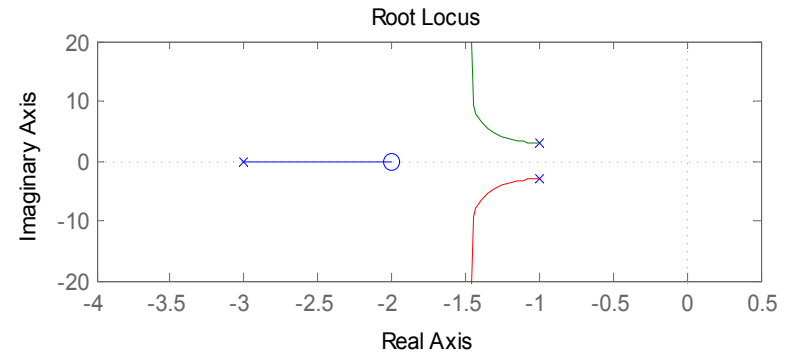
10 (s+2)

(s+2.507) (s^2 + 2.493s + 18.76)

Zero/pole/gain:

10 (s+2) (s+0.4)

(s+2.48) (s+0.516) (s^2 + 2.604s + 18.93)





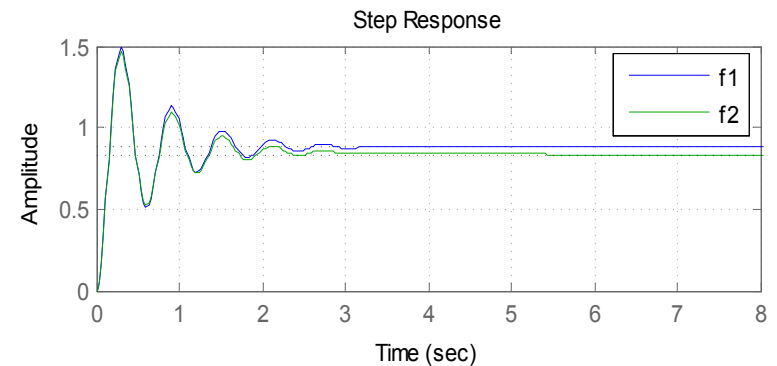
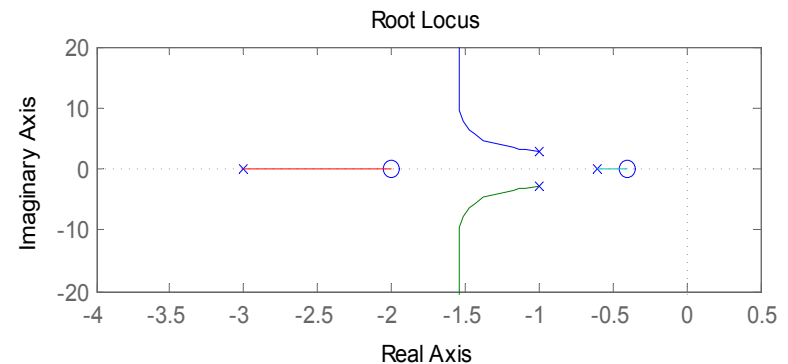
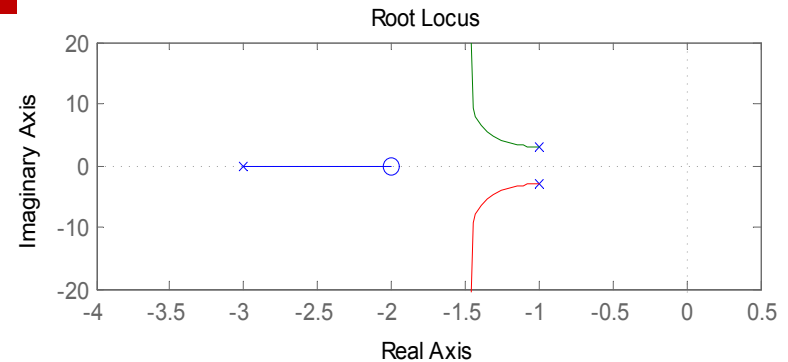
4.5 根轨迹校正

%增加开环偶极子对根轨迹的影响(接近原点)

```
zero=[-2];  
pole=[-3 -1+2.83i -1-2.83i];  
g1=zpk(zero,pole,100)  
subplot(3,1,1)  
rlocus(g1);  
axis([-4 0.5 -20 20]);
```

```
zero=[-2 -0.4];  
pole=[-3 -1+2.83i -1-2.83i -0.6];  
g2=zpk(zero,pole,100)  
subplot(3,1,2)  
rlocus(g2);  
axis([-4 0.5 -20 20]);
```

```
f1=feedback(g1,1)  
f2=feedback(g2,1)  
subplot(3,1,3)  
step(f1,f2);
```





4.5 根轨迹校正

增加开环偶极子对根轨迹的影响(接近原点)

Zero/pole/gain:

100 (s+2)

(s+3) (s^2 + 2s + 9.009)

Zero/pole/gain:

100 (s+2) (s+0.4)

(s+3) (s+0.6) (s^2 + 2s + 9.009)

Zero/pole/gain:

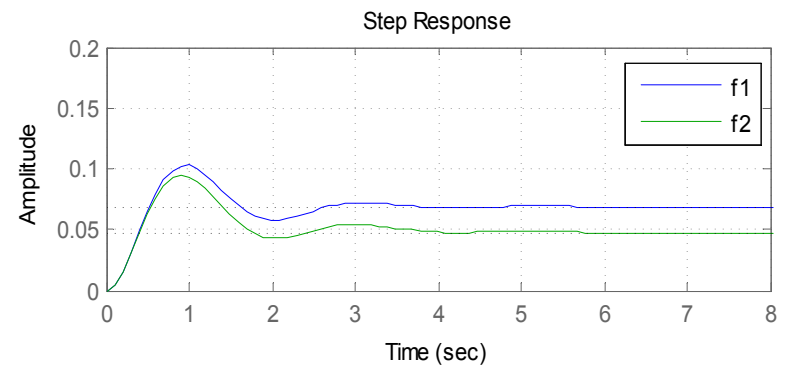
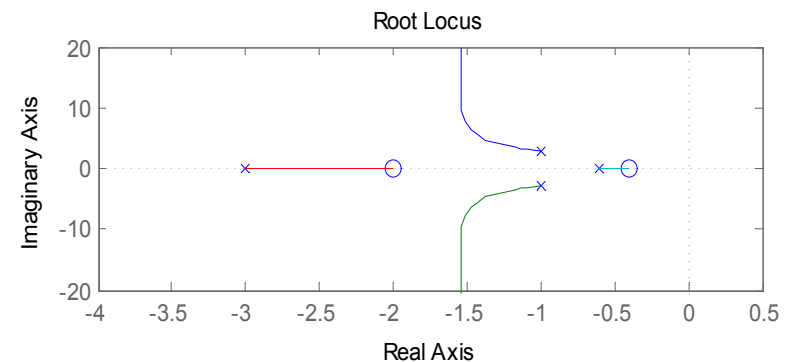
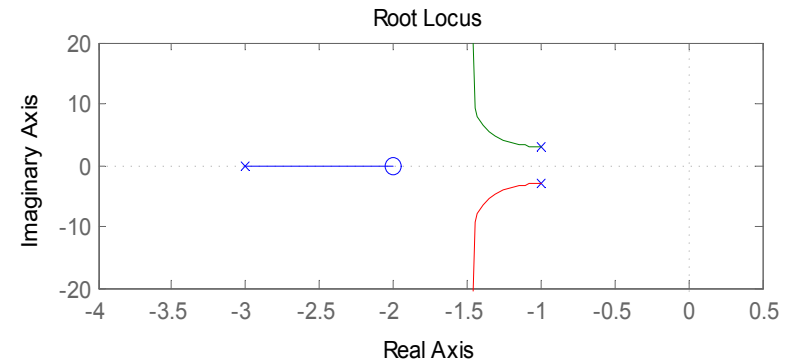
100 (s+2)

(s+2.084) (s^2 + 2.916s + 108.9)

Zero/pole/gain:

100 (s+2) (s+0.4)

(s+2.075) (s+0.424) (s^2 + 3.101s + 109.4)





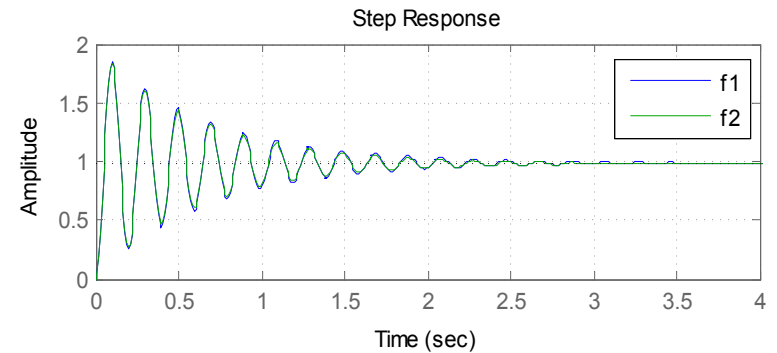
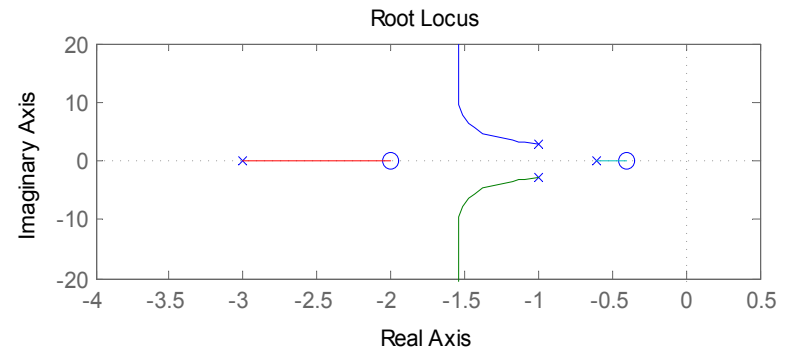
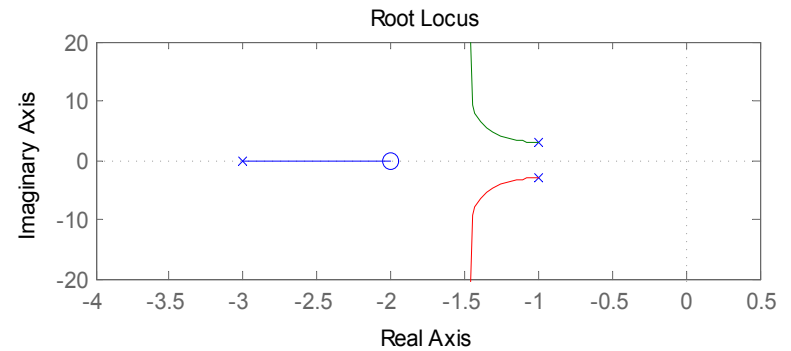
4.5 根轨迹校正

%增加开环偶极子对根轨迹的影响(接近原点)

```
zero=[-2];  
pole=[-3 -1+2.83i -1-2.83i];  
g1=zpk(zero,pole,1000)  
subplot(3,1,1)  
rlocus(g1);  
axis([-4 0.5 -20 20]);
```

```
zero=[-2 -0.4];  
pole=[-3 -1+2.83i -1-2.83i -0.6];  
g2=zpk(zero,pole,1000)  
subplot(3,1,2)  
rlocus(g2);  
axis([-4 0.5 -20 20]);
```

```
f1=feedback(g1,1)  
f2=feedback(g2,1)  
subplot(3,1,3)  
step(f1,f2);
```





4.5 根轨迹校正

增加开环偶极子对根轨迹的影响(接近原点)

Zero/pole/gain:
1000 (s+2)

(s+3) (s² + 2s + 9.009)

Zero/pole/gain:
1000 (s+2) (s+0.4)

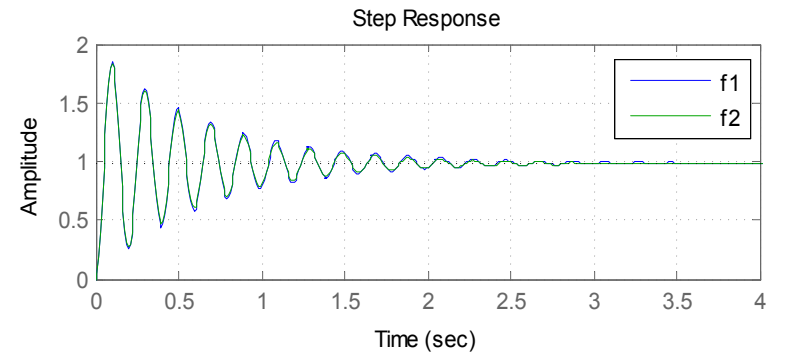
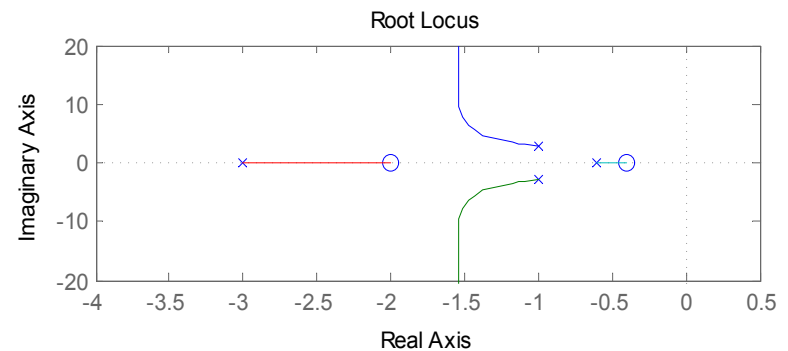
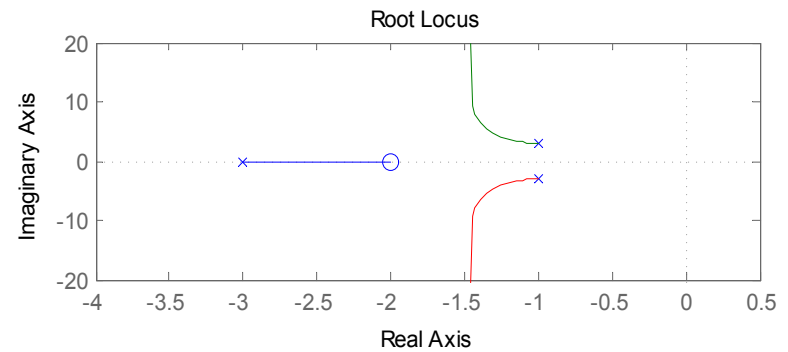
(s+3) (s+0.6) (s² + 2s + 9.009)

Zero/pole/gain:
1000 (s+2)

(s+2.009) (s² + 2.991s + 1009)

Zero/pole/gain:
1000 (s+2) (s+0.4)

(s+2.008) (s+0.4027) (s² + 3.189s + 1010)



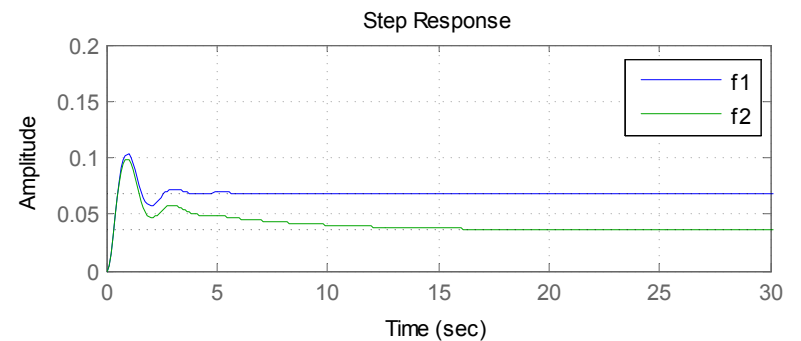
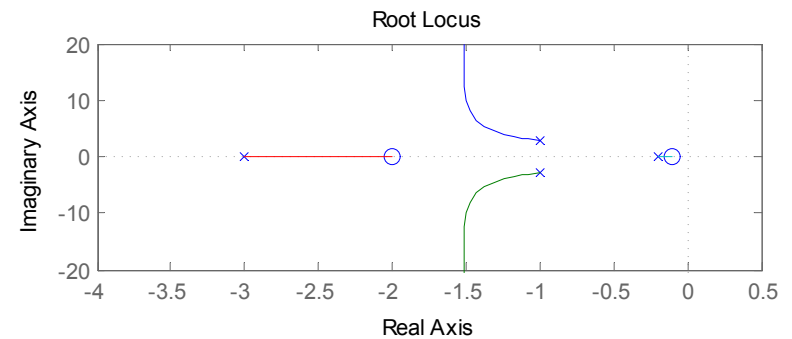
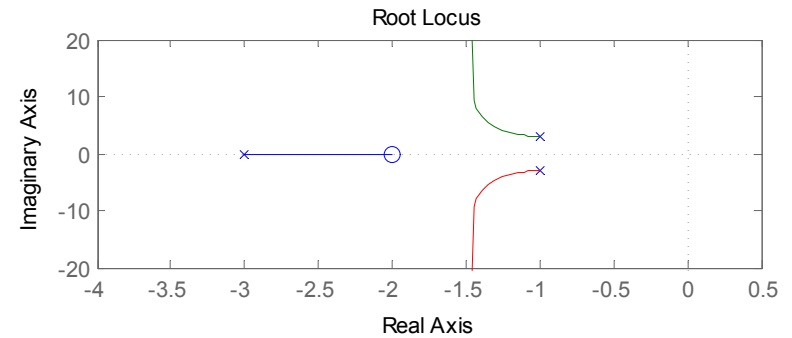


4.5 根轨迹校正

%增加开环偶极子对根轨迹的影响(接近原点)

```
zero=[-2];  
pole=[-3 -1+2.83i -1-2.83i];  
g1=zpk(zero,pole,1)  
subplot(3,1,1)  
rlocus(g1);  
axis([-4 0.5 -20 20]);  
  
zero=[-2 -0.1];  
pole=[-3 -1+2.83i -1-2.83i -0.2];  
g2=zpk(zero,pole,1)  
subplot(3,1,2)  
rlocus(g2);  
axis([-4 0.5 -20 20]);
```

```
f1=feedback(g1,1)  
f2=feedback(g2,1)  
subplot(3,1,3)  
step(f1,f2);
```





4.5 根轨迹校正

增加开环偶极子对根轨迹的影响(接近原点)

Zero/pole/gain:

(s+2)

(s+3) (s² + 2s + 9.009)

Zero/pole/gain:

(s+2) (s+0.1)

(s+3) (s+0.2) (s² + 2s + 9.009)

Zero/pole/gain:

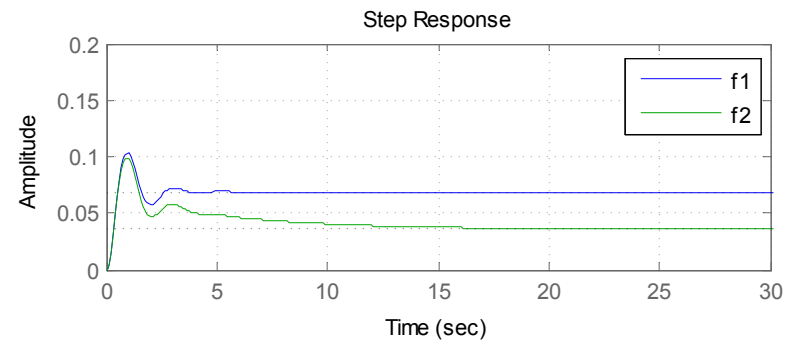
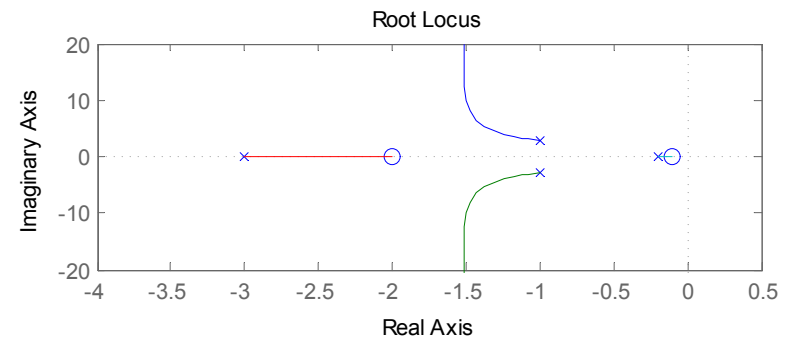
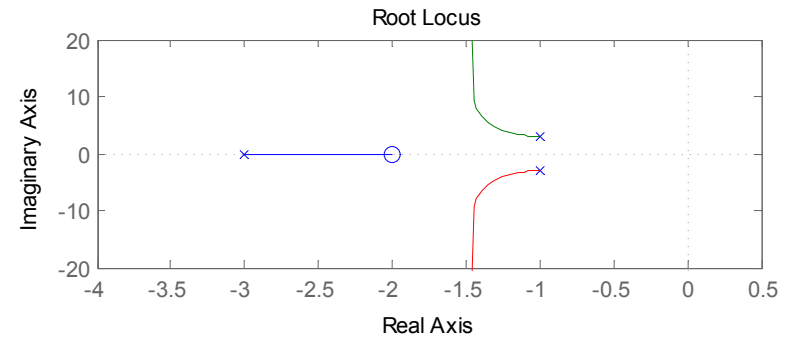
(s+2)

(s+2.921) (s² + 2.079s + 9.936)

Zero/pole/gain:

(s+2) (s+0.1)

(s+0.1931) (s+2.919) (s² + 2.088s + 9.947)





4.5 根轨迹校正

4、根轨迹校正反馈系统

- step: 1) 暂态性能指标→期望的闭环主导极点;
- 2) 绘制原系统的根轨迹, 确定是否增加校正装置;
 - 3) 校正后系统根轨迹通过期望闭环主导极点, 检验开环比例系数是否满足静态指标 (否则, 增加开环偶极子以改善之);
 - 4) 检验暂、静态指标。

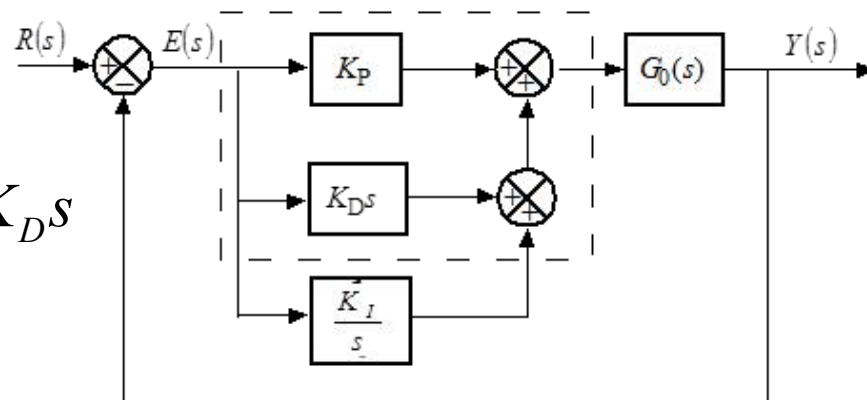


4.5 根轨迹校正

例：PID控制 (比例proportional, 积分integral, 微分derivative)

已知： $K_P = 1, K_D = 0.25, K_I = 1.5$

$$G_o(s) = \frac{K^*}{s(s+2)} \quad G_c(s) = K_P + \frac{K_I}{s} + K_D s$$



(1)P控制

$$G_P(s) = \frac{K_P K^*}{s(s+2)} \quad \begin{cases} K = \frac{K_P K^*}{2} = \frac{K^*}{2} \\ U = 1 \end{cases}$$

(2)PD控制

$$G_{PD}(s) = \frac{K^* (0.25s + 1)}{s(s+2)} = \frac{\frac{K^*}{4} (s+4)}{s(s+2)} \quad \begin{cases} K = \frac{K^*}{2} \\ U = 1 \end{cases}$$

根轨迹向左偏移，系统动态性能得以有效改善。



4.5 根轨迹校正

(3)PI控制

$$G_{PI}(s) = \frac{K^* \left(1 + \frac{1.5}{s}\right)}{s(s+2)} = \frac{K^*(s+1.5)}{s^2(s+2)} \quad \begin{cases} K = \frac{3}{4}K^* \\ U = 2 \end{cases}$$

系统由1型变为2型，稳态性能明显改善。但由于引入积分，系统动态性能变差。

(4)PID控制

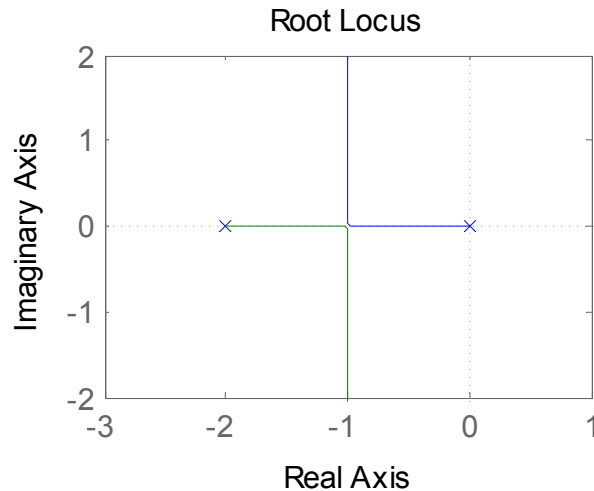
$$G_{PID}(s) = \frac{K^* \left(1 + 0.25s + \frac{1.5}{s}\right)}{s(s+2)} = \frac{\frac{K^*}{4}(s+2+j\sqrt{2})(s+2-j\sqrt{2})}{s^2(s+2)} \quad \begin{cases} K = \frac{3K^*}{4} \\ U = 2 \end{cases}$$

PID控制综合了微分控制和积分控制的优点，既能改善系统的动态性能，又保留了2型系统的稳态性能。

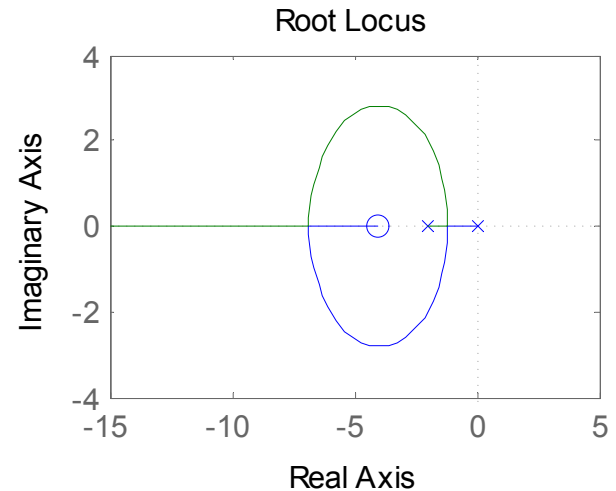


4.5 根轨迹校正

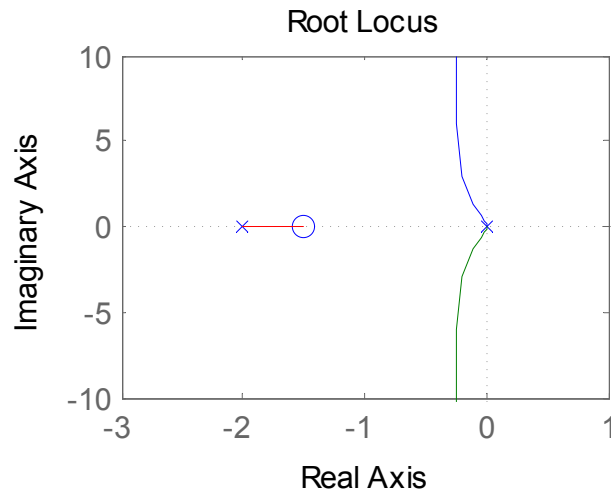
```
N1=[0 0 1];  
D1=[1 2 0];  
subplot(2,2,1)  
Rlocus(N1,D1);  
% grid on;
```



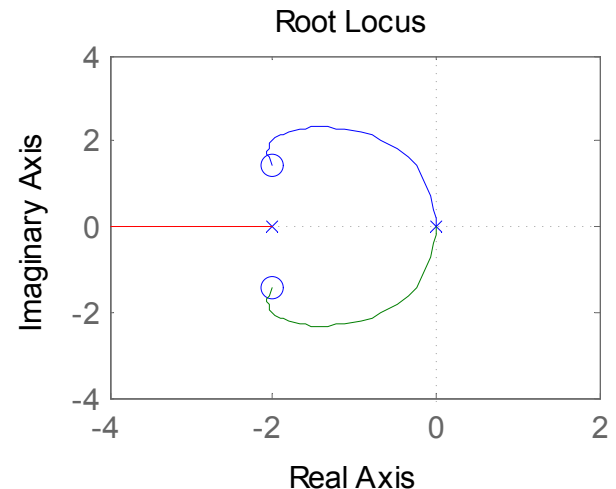
```
N2=[0 1 4];  
D2=[1 2 0];  
subplot(2,2,2)  
Rlocus(N2,D2);  
% grid on;
```



```
N3=[0 0 1 1.5];  
D3=[1 2 0 0];  
subplot(2,2,3)  
Rlocus(N3,D3);  
% grid on;
```



```
N4=[0 0.25 1 1.5];  
D4=[1 2 0 0];  
subplot(2,2,4)  
Rlocus(N4,D4);  
% grid on;
```





4.5 根轨迹校正

Thank You !